

## 8. ANEJOS.

### 8.1. ANEJO 1. PLANOS.



Figura 32: Plano situación Campus de Vera. UPV.



Figura 33: Plano situación Parcela Nexus.



Figura 34: Plano situació parcela Pradera Central.

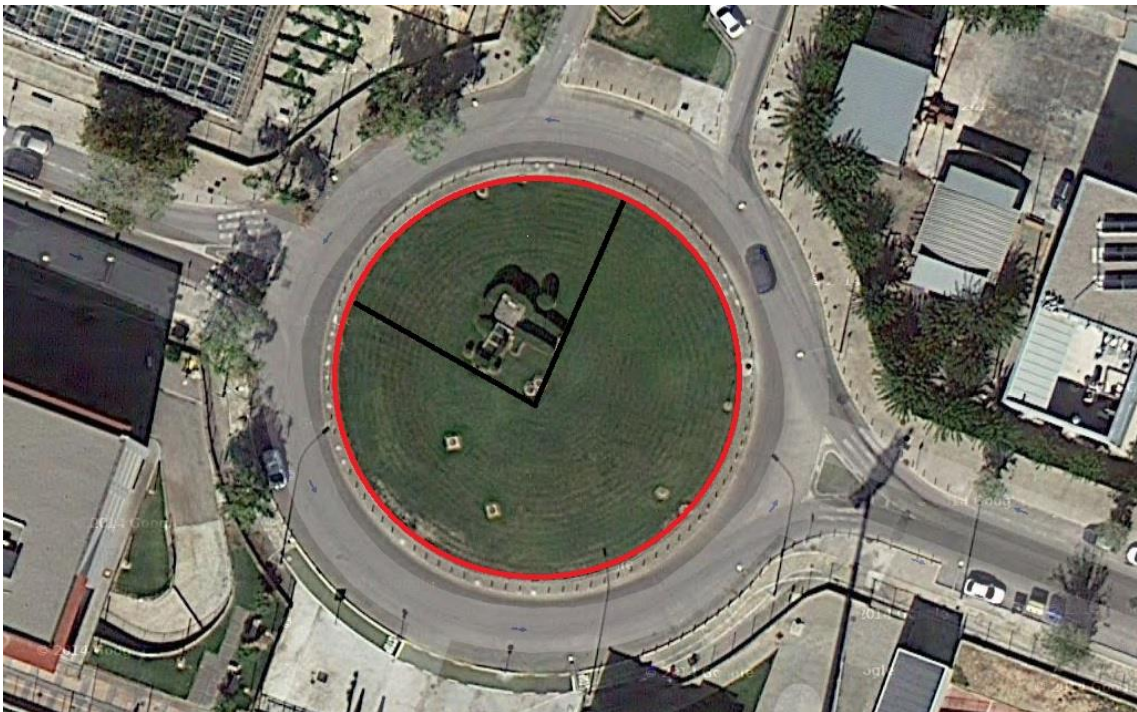


Figura 35: Plano situació parcela Rotonda.

## 8.2. ANEJO 2. FOTOGRAFIAS.

Especies de cespitosas encontradas en las parcelas de los ensayos.



*Figura 36: Penisetum clandestinum.*



*Figura 37: Cynodon dactylon.*



*Figura 38: Festuca arundinacea.*

### **Ensayos de pluviometría.**



*Figura 39: Ensayo de pluviometría en parcela Nexus.*



*Figura 40: Ensayo de pluviometría en parcela Rotonda.*



*Figura 41: Ensayo de pluviometría en parcela Rotonda.*



*Figura 42: Ensayo de pluviometría en parcela Pradera Central.*



*Figura 43: Recuento de aspersores en ensayo de pluviometría.*



*Figura 44: Báscula utilizada para el pesaje de los pluviómetros.*



*Figura 45: Aspersor de turbina durante el riego.*

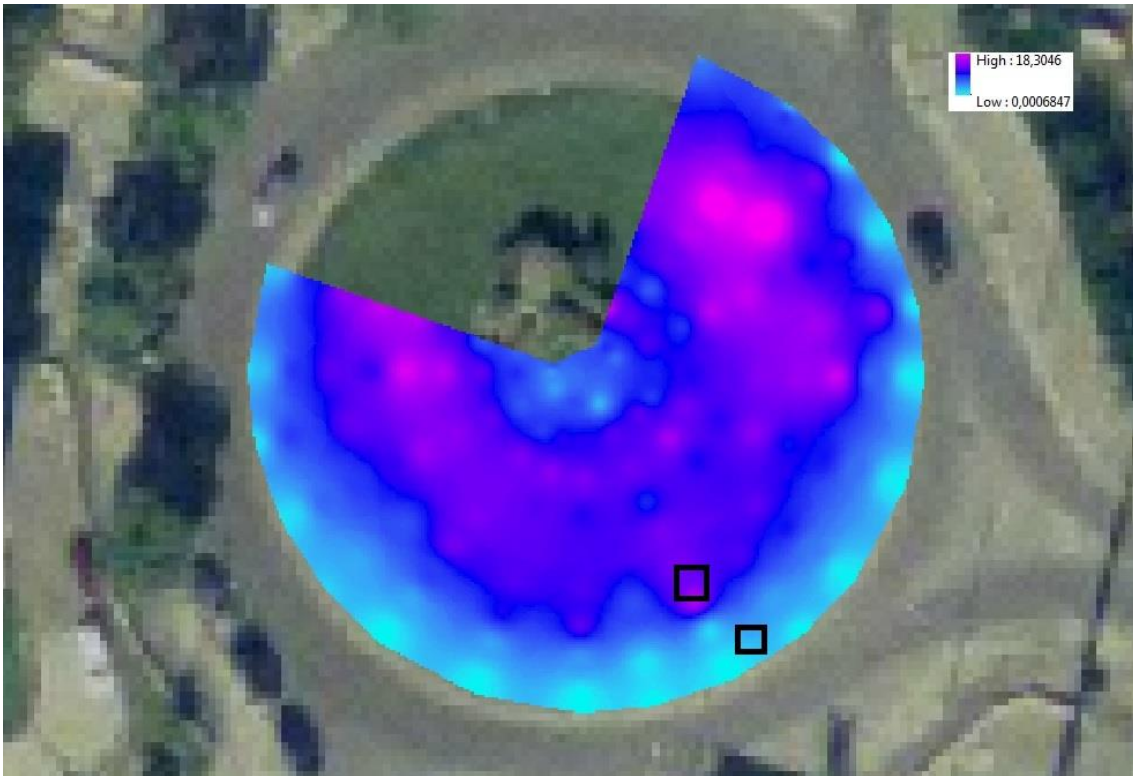


Figura 46: Zonas seleccionadas para alta y baja pluviometría.

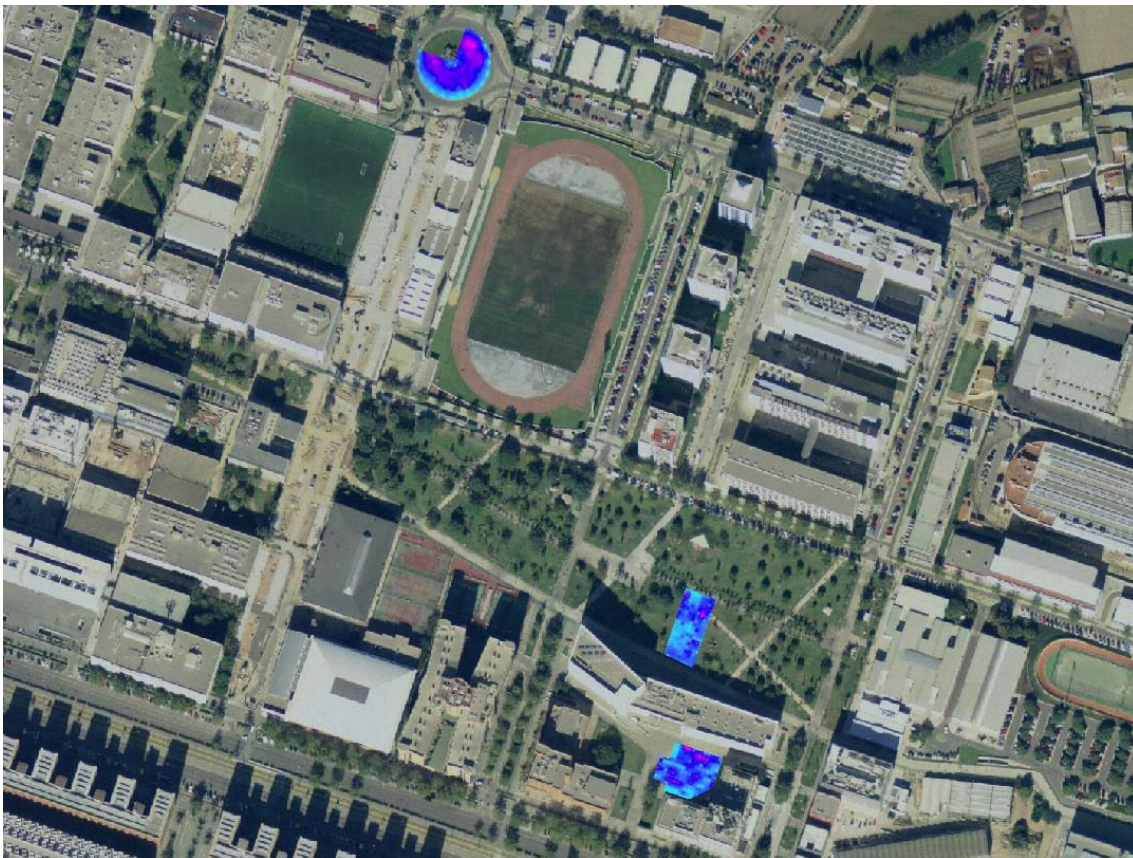


Figura 47: Detalle de las tres parcelas del estudio.

**Problemas detectados en el transcurso del riego.**



*Figura 48: Aspersor que no emerge totalmente.*



*Figura 49: Aspersor que no emite bien el riego provocando encharcamientos.*



*Figura 50: Encharcamiento provocado por la mala selección del ángulo de giro.*

Secuencia completa de imágenes termográficas durante el ensayo en cada una de las parcelas.

Parcela Nexus

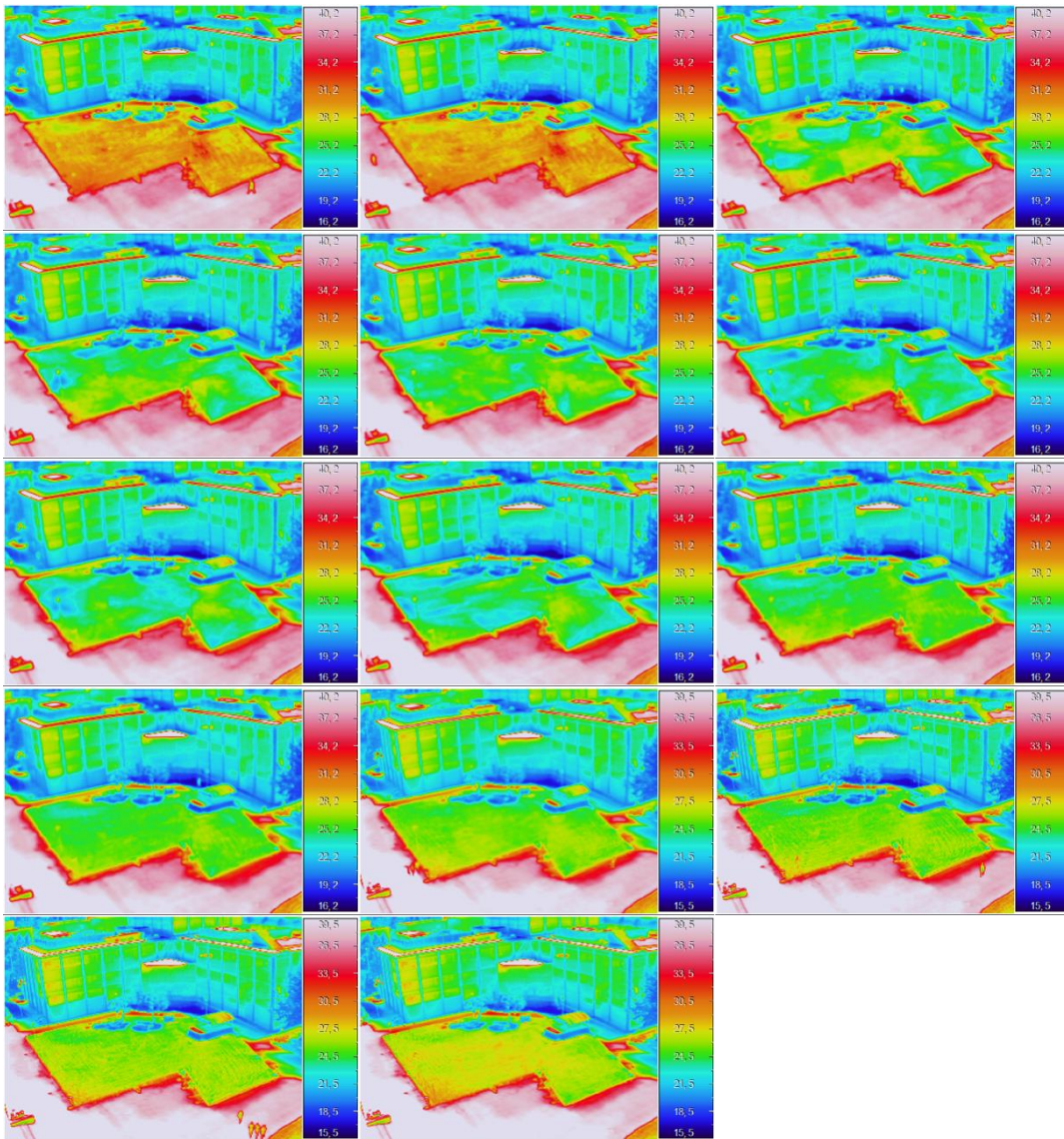
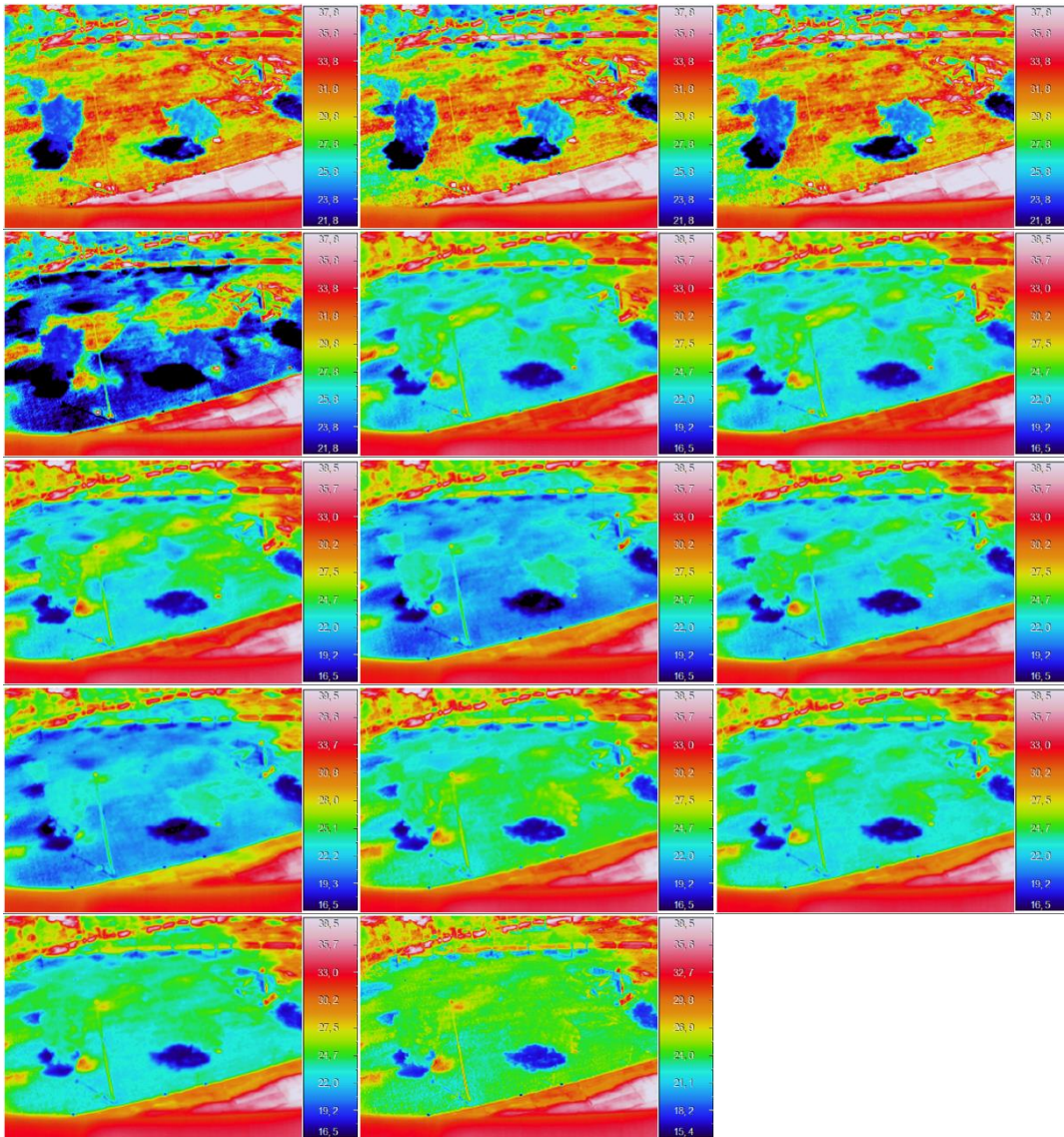


Figura 51: Secuencia de imágenes térmicas durante el riego en parcela Nexus.



Figura 52: Visual Nexus.

**Parcela Pradera Central.**



*Figura 53: Secuencia de imágenes térmicas durante el riego en parcela Pradera Central.*



*Figura 54: Visual Pradera Central.*

## Parcela Rotonda

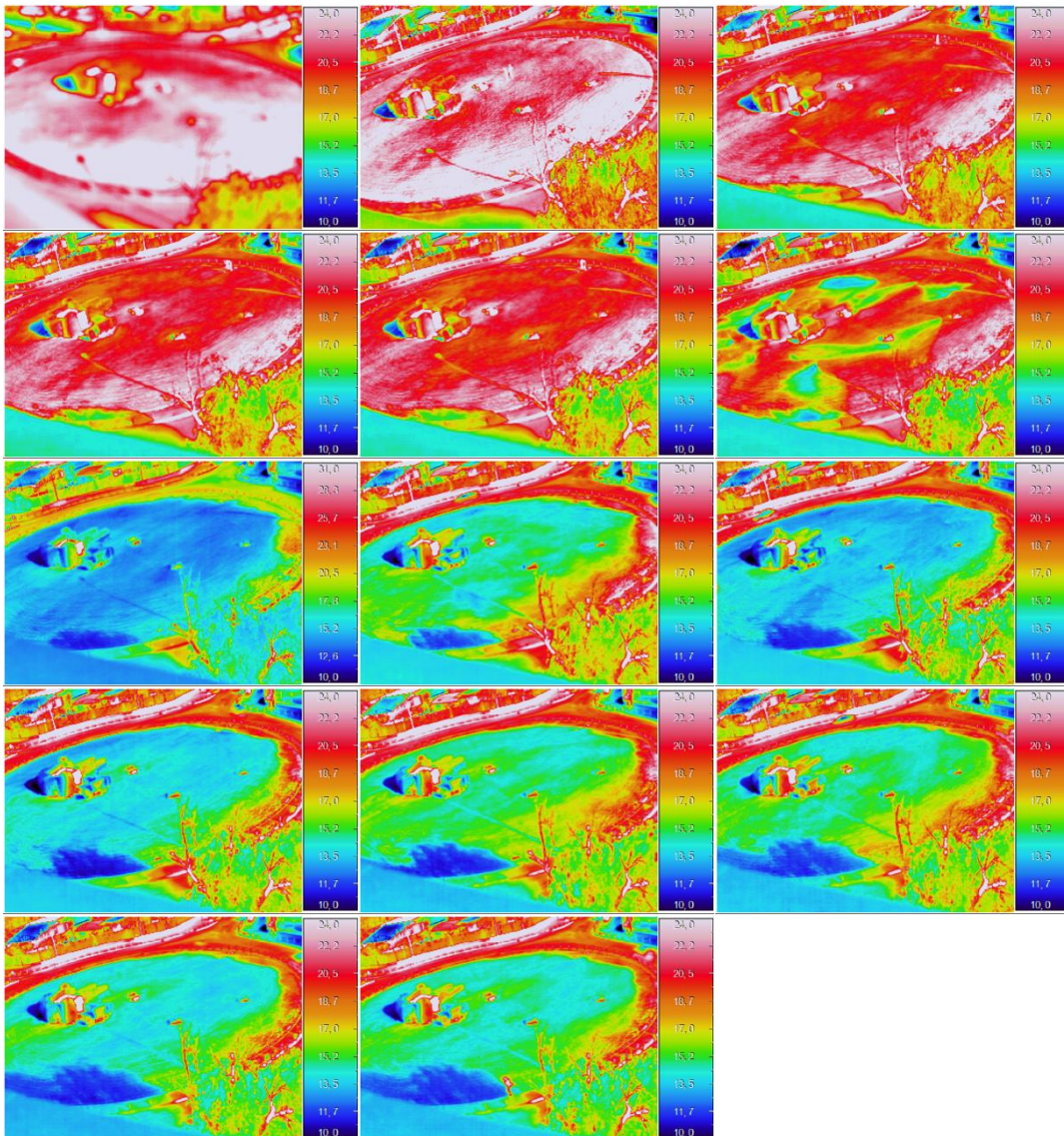


Figura 55: Secuencia de imágenes térmicas durante el riego en parcela Rotonda.

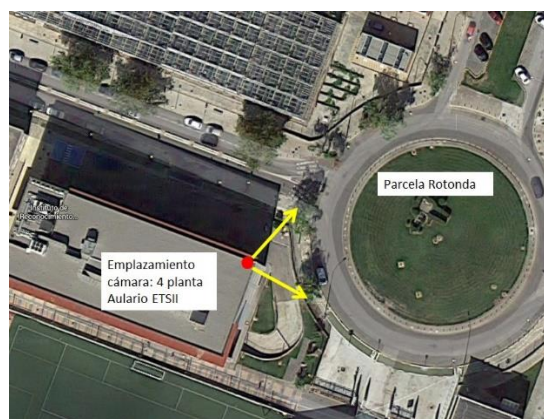


Figura 56: Visual del ensayo de termografía en parcela Rotonda.

**Fotografías simulación de detección de fugas con termografía.**



*Figura 57: Parcela de simulación de detección de fugas con termografía.*



*Figura 58: Toma de imágenes térmicas en la detección de fugas.*